

# 1 Grundlagen

## 1.1 Eigenschaften

Eigenschaften LTI-Systeme

1. Stabilität  
 $|x(t)| < M < \infty \Rightarrow |y(t)| < N < \infty$
2. Linearität  
 $W\left\{\sum_{k=1}^N a_k x_k(t)\right\} = \sum_{k=1}^N W\{a_k x_k(t)\}$
3. Zeitinvarianz  
 $W\{x(t - t_0)\} = y(t - t_0)$
4. Kausalität  
 $t < 0 \Rightarrow x(t) = 0 \wedge y(t) = 0$

## 1.2 Systemantwort

Die Sprung-/Impulsantwort beschreibt Systemantwort vollständig

$$y(t) = \int_{-\infty}^{\infty} a(t - \tau) x'(\tau) d\tau \quad (1)$$

$$a(t - \tau) = W\{s(t - \tau)\}$$

$$y(t) = \int_{-\infty}^{\infty} h(t - \tau) x(\tau) d\tau \quad (2)$$

$$h(t - \tau) = W\{\delta(t - \tau)\}$$

## 1.3 Abtasttheorem

Durch die Abtastung wird das Spektrum von  $f(t)$  unendlich oft um die Frequenzen  $n \cdot \omega_A$  reproduziert.

$$F_A(\omega) = \frac{1}{T_A} \sum_{n=-\infty}^{\infty} F(\omega - n\omega_A) \quad (3)$$

$$2\omega_g \leq \omega_A$$

# 2 Systemtechnik

## 2.1 Modellbildung

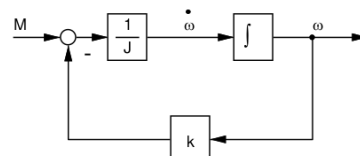
Hinweise zum aufstellen der Differentialgleichung eines Systems:

1. Bestimmung der Ein- und Ausgangsgrößen
2. Julius der kackpast
3. Suche nach dem beschreibenden Gleichgewicht
4. In der Gleichung dürfen nur Konstanten, sowie die Ein- und Ausgangsgrößen in beliebiger Ableitung vorkommen
5. Andere Variablen müssen durch erlaubte Größen ersetzt werden (Dazu können i.a. physikalische Gleichungen benutzt werden)

## 2.2 Signalflussplan/Blockschaltbild

Erzeugung des Signalflussplans aus der Zugehörigen DGL.

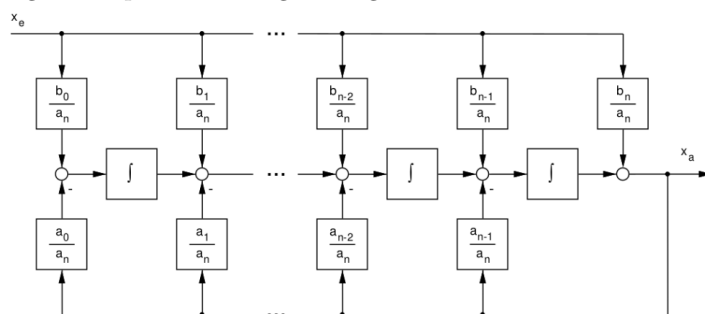
für technische Realisierung gilt:  $m < n$ ;  
Dgl. nach höchster Ableitung der Ausgangsgröße auflösen  
höchste Ableitung der Ausgangsgröße geht auf den Eingang des ersten Integrators  
(Laplace-Trans ersetzt das Integrieren mit einer Division mit „s“)



Erzeugung des Signalflussplans eines Systems mit der Dgl.:

$$a_n^{(n)} x_a + \dots + a_2 \ddot{x}_a + a_1 \dot{x}_a + a_0 x_a = b_m^{(m)} x_e + \dots + b_2 \ddot{x}_e + b_1 \dot{x}_e + b_0 x_e$$

Signalflussplan kann allgemein gezeichnet werden:

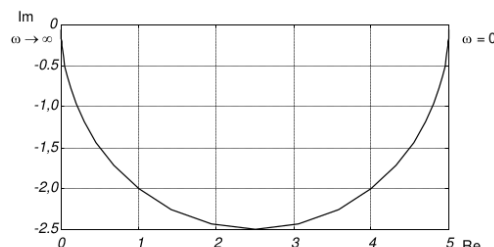


## 2.3 Stabilität

BIBO-Stabilität (Bounded Input/ Bounded Output-> begrenzt):  
ein dynamisches System ist stabil, wenn gilt:  
für ein begrenztes  $x_e$  gibt es immer ein begrenztes  $x_a$

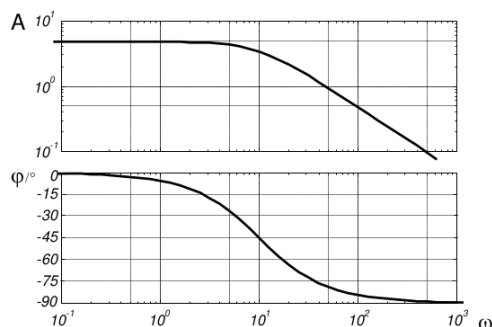
## 2.4 Ortskurven und Frequenzkennlinien

Ortskurvendarstellung:



Für wachsendes  $\omega$  werden die komplexen Werte  $F(j\omega)$  in die komplexe F-Ebene eingetragen und zur Ortskurve verbunden.  
Jeder Ortskurvenpunkt kann jetzt als Zeiger gedeutet werden.

## Bodediagrammdarstellung:



Der Amplitudengang  $A(\omega)$  wird in doppeltlogarithmischer Darstellung aufgetragen, der Phasengang  $\varphi(\omega)$  halblogarithmisch. Gemeinsame Abszisse ist  $\omega$ .

Bei diesem Beispiel (PT1-Glied) ist deutlich der Tiefpass-Charakter zu erkennen.

Verkettete Funktionen im Bodediagramm resultieren als Produkt der Einzelübertragungsfunktionen.

D.h. Verstärkung wird multipliziert und Phasenverschiebung addiert. Das heißt: Sowohl Phasengang (halblogarithmische Darstellung) und Amplitudengang (logarithmische Darstellung) werden graphisch addiert!

## 2.5 $F(s)$ in Pol- und Nullstellenform

Zähler- und Nennerpolynom von  $F(s)$  besitzt Nullstellen. Diese sind von  $a_v$  und  $b_u$  abhängig.

Nullstellen des Zählers sind Nullstellen von  $F(s)$

Nullstellen des Nenners sind Polstellen von  $F(s)$

Wenn Pole  $s_{pv}$  und Nullstellen  $s_{nu}$  bekannt, kann man  $F(s)$  mit dem Faktor  $Q$  in faktorisierte Form darstellen.

$$F(s) = Q \cdot \frac{\prod_{\mu=1}^m (s - s_{N\mu})}{\prod_{v=1}^n (s - s_{pv})} \quad \text{mit } Q = \frac{b_m}{a_n}$$

Die Stabilität von  $F(s)$  kann anhand der Lage der Pole  $s_{pv}$  in der  $s$ -Ebene beurteilt werden.

$F(s)$  ist stabil, wenn alle Pole  $s_{pv}$  in der linken  $s$ -Halbebene liegen.

Instabile Pole in der Rechten Halbebene lassen sich nicht durch Reihenschaltung mit entsprechender Nullstelle kompensieren!

### Bedeutung Polstelle:

Pole bewirken ein zeitverzögertes Verhalten. je weiter links sie sich befinden, desto schneller ist der Einschwingvorgang.

=> Wenn Pole deutlich weiter links liegen als andere andere, kann man sie ohne großen Fehler vernachlässigen.

### Bedeutung Nullstelle:

NS bewirken ein differenzierendes Verhalten (Beschleunigung des Systems) Einfluss weit links in der  $s$ -Ebene kann häufig vernachlässigt werden.

## 2.6 Signalflussplanalgebra

### Kettenstruktur:

$$\begin{aligned} X_e(s) &\rightarrow F_1(s) \rightarrow X_{a1}(s) = X_{e2}(s) \rightarrow F_2(s) \rightarrow X_a(s) \\ \Rightarrow X_a(s) &= F_2(s) \cdot F_1(s) \cdot X_e(s) \\ F_{\text{Reihe}}(s) &= F_1(s) \cdot F_2(s) \end{aligned}$$

### Parallelstruktur:

$$\begin{aligned} X_e(s) &\rightarrow \begin{cases} F_1(s) \\ F_2(s) \end{cases} \rightarrow \begin{cases} X_{a1}(s) \\ X_{a2}(s) \end{cases} \rightarrow X_a(s) \\ \Rightarrow X_a(s) &= F_1(s) \cdot X_e(s) + F_2(s) \cdot X_e(s) \\ F_{\text{Parallel}}(s) &= F_1(s) + F_2(s) \end{aligned}$$

**Matlab Code:**  
F1 = tf([2], [1 4]), F2 = tf([3], [5 1])  
FR = F1\*F2, FP = F1+F2

### Kreisstruktur:

$$\begin{aligned} X_e(s) &\rightarrow \begin{cases} F_v(s) \\ F_r(s) \end{cases} \rightarrow X_a(s) \\ \Rightarrow F_{\text{Kreis}}(s) &= \frac{F_v(s)}{1 + (-)F_v(s)F_r(s)} \end{aligned}$$

-: Gegenkopplung, regelungstechnisch interessanter  
(+): Mitkopplung

### Verschieben einer Additionsstelle:

$$\begin{aligned} X_{e1}(s) &\rightarrow F(s) \rightarrow X_a(s) \\ &\quad \uparrow X_{e2}(s) \\ &= X_{e1}(s) \rightarrow \begin{cases} \uparrow X_{e2}(s) \\ \downarrow \frac{1}{F(s)} \end{cases} \rightarrow F(s) \rightarrow X_a(s) \end{aligned}$$

### Verschieben einer Verzweigung:

$$\begin{aligned} X_e(s) &\rightarrow \begin{cases} \downarrow X_{a1}(s) \\ \rightarrow F(s) \end{cases} \rightarrow X_{a2}(s) \\ &= X_e(s) \rightarrow F(s) \rightarrow \begin{cases} \downarrow \frac{1}{F(s)} \\ \rightarrow X_{a2}(s) \end{cases} \rightarrow X_{a1}(s) \end{aligned}$$

## 3 Zusammenwirken mehrerer Systeme

### 3.1 Regelkreis

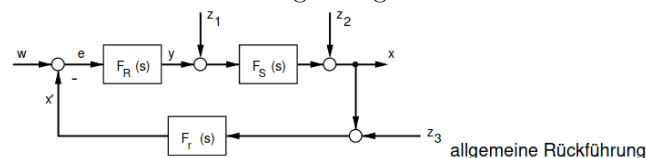
#### Anforderungen:

Stabilität: Regelkreis muss stabiles Verhalten zeigen (gilt auch für instabile Systeme)

Gutes Führungsverhalten: Die Differenz zw. Sollwert  $w(t)$  und Istwert  $x(t)$  muss schnell klein werden.

Gutes Störverhalten: Einfluss von Störgrößen soll vermindert werden.

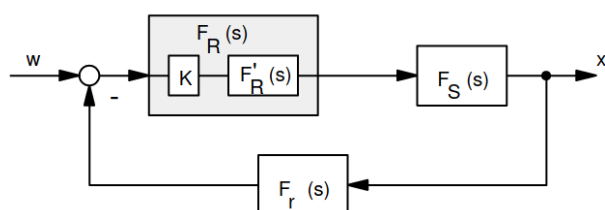
#### Grundstruktur des einschleifigen Regelkreises



Regler	$F_R(s)$	Regelstrecke $F_S(s)$	bleibende Regeldifferenz $e$ (oder $x_d$ )	
			für $x_e = a \cdot \sigma(t)$ (Sprung) mit Rückführverstärkung $K_r$	für $x_e = a \cdot t$ (Rampe) mit Einheitsrückführung
P (D)	$K_p$	P-Verhalten (P, PT1, PT2, ...)	$a \frac{1}{1 + K_p \cdot K_S \cdot K_r}$	$\infty$
I	$\frac{K_I}{s}$		0	$a \frac{1}{K_I \cdot K_S}$
PI (D)	$K_p + \frac{K_I}{s}$		0	$a \frac{1}{K_I \cdot K_S}$
I <sup>2</sup>	$\frac{K_I}{s^2}$	I-Verhalten (I, PI, IT1, ...)	0	0
P (D)	$K_p$		0	$a \frac{1}{K_p \cdot K_S}$
I	$\frac{K_I}{s}$		0	0
PI (D)	$K_p + \frac{K_I}{s}$		0	0

### 3.2 Wurzelortskurven (WOK)-Verfahren

Reglerfunktion  $F_R$  in Reglerverstärkung und Reglerdynamik aufspalten:  $F_R = K \cdot F'_R$



$$\Rightarrow F_w(s) = \frac{F_R \cdot F_S}{1 + F_R \cdot F_S \cdot F_r}$$

Dabei ist  $F_o = F_R \cdot F_S \cdot F_r$  die Übertragungsfunktion des offenen Regelkreises.  $F_o$  kann auch in faktorisierte Form angegeben werden:

$$\begin{aligned} F_w(s) &= F_R(s) \cdot F_S(s) \cdot F_r(s) \\ &= K \cdot F'_R(s) \cdot F_S(s) \cdot F_r(s) \\ &= K \cdot Q \cdot \frac{\prod_{u=1}^m (s - s_{\text{Nou}})}{\prod_{v=1}^n (s - s_{\text{pov}})} \end{aligned}$$

Für eine Polstelle, muss der Nenner von  $F_w(s)$  Null werden:

$$\frac{F_R(s) \cdot F_S(s)}{1 + F_o(s)} \Rightarrow 1 + F_o(s) \stackrel{!}{=} 0$$

Daraus folgt:

$$\begin{aligned} \Rightarrow 1 + K \cdot Q \cdot \frac{\prod_{M=1}^m (s - s_{\text{Nou}})}{\prod_{v=1}^n (s - s_{\text{por}})} \\ \Rightarrow \frac{\prod_{v=1}^n (s - s_{\text{pov}})}{\prod_{u=1}^m (s - s_{\text{Nou}})} \stackrel{!}{=} -K \cdot Q \end{aligned}$$

Entspricht:  $\frac{\text{Summe des Abstands aller Polstellen zum gesuchten Punkt}}{\text{Summe des Abstands aller Nullstellen zum gesuchten Punkt}}$

### 3.3 Konstruktion der WOK

1. Alle n Äste der WOK beginnen mit  $K=0$  in den n Polen  $s_{pov}$  des offenen Regelkreises.
2. m Äste der WOK enden für  $K \rightarrow \pm\infty$
3. n - m Äste der WOK enden für  $K \rightarrow \pm\infty$  im Unendlichen
4. Die n-m ins Unendliche strebende Äste der WOK haben Asymptoten, die
  - a) im Wurzelschwerpunkt

$$S_w = \frac{\sum_{v=1}^n s_{pov} - \sum_{u=1}^m s_{Nou}}{n - m}$$

beginnen und die dabei

b) mit der reellen Achse die Winkel

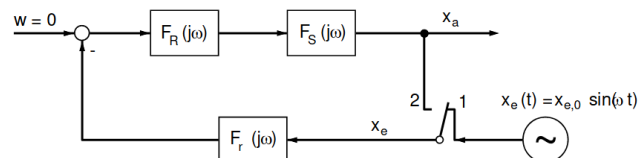
$$\varphi_k = \frac{(2k-1) \cdot 180^\circ}{n-m} \text{ für } KQ > 0 \text{ bzw.}$$

mit  $k = 1, 2, 3, \dots, n-m$

5. Die Punkte der WOK liegen entweder auf der reellen Achse, oder symmetrisch zur reellen Achse
6. Ein Punkt  $s$  auf der reellen Achse ist dann ein Punkt der WOK, wenn sich bei  $KQ > 0$  ( $KQ < 0$ ) rechts von ihm eine ungerade (gerade) Anzahl von Polen  $s_{pov}$  und (+) Nullstellen  $s_{Nou}$  befindet.

Achtung: WOK ist nicht anwendbar, wenn es sich um nicht rationale Übertragungsfunktionen handelt. (z.B. Regelkreis mit Totzeitverhalten!)

### 3.4 Nyquist Kriterium



Frequenzgangfunktion des offenen Regelkreises:

$$F_o(j\omega) = F_r(j\omega) \cdot F_R(j\omega) \cdot F_S(j\omega)$$

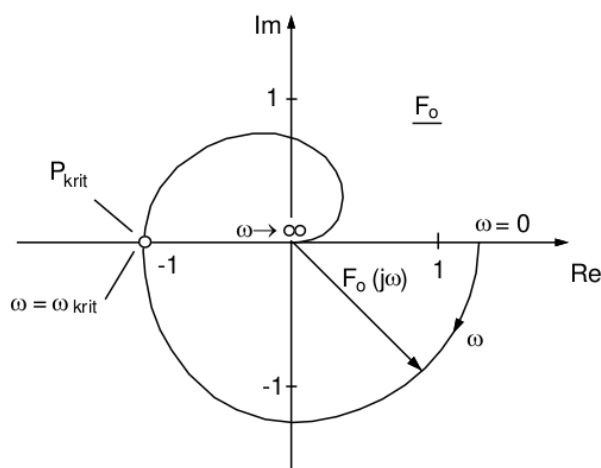
Ausgangssignal:

$$x_a(t) = -F_r(j\omega) \cdot F_R(j\omega) \cdot F_S(j\omega) \cdot x_{e,0} \sin(\omega t) = -F_o(j\omega) \cdot x_e(t)$$

Regler und seine Parameter werden so gewählt, dass  $\omega = \omega_{krit}$  gilt:

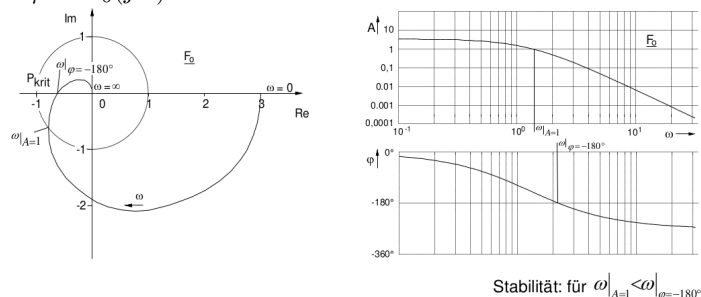
$$-F_o(j\omega_{krit}) = 1 \text{ oder } F_o(j\omega_{krit}) = -1 \text{ (Schwingbedingung)}$$

Die Schwingbedingung ist erfüllt, wenn die Ortskurve von  $F_o(j\omega)$  durch den kritischen Punkt ( $P_{krit} = -2 + j0$ ) der komplexen  $F_o$ -Ebene geht. An diesem Punkt kann man  $\omega_{krit}$  ablesen (damit kann der Regelkreis Dauerschwingungen ausführen). Für größere  $\omega$  ist das System instabil, für kleinere stabil.

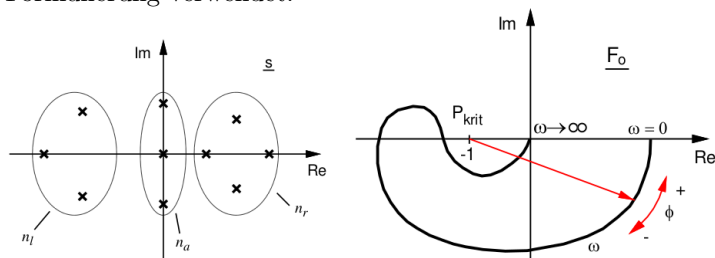


Falls  $F(s)$  des offenen Kreises keine Pole in der rechten Halbebene hat und nur max. 2 im Ursprung der  $s$ -Ebene, ist der Regelkreis stabil, wenn der kritische Punkt von  $\omega$  immer links von  $s = -1 + j0$  liegt. (gilt immer wenn der offene Kreis stabil ist)

Zur Auswertung des Nyquist-Kriteriums im Bode Diagramm, spaltet man die Ortskurve nach Betrag  $A = |F_0(j\omega)|$  und Phase  $\varphi = \angle F_0(j\omega)$



Falls die Bedingung nicht funktioniert, wird die allgemeine Formulierung verwendet:



Der geschlossene Regelkreis ist stabil, wenn der Fahrstrahl von  $P_{krit} = -1 + j0$  zu  $F_0(j\omega)$  für wachsendes  $\omega$  von  $+0$  bis  $+\infty$  eine Winkeländerung  $\Delta\phi_{soll} = n_r \cdot 180^\circ + n_a \cdot 90^\circ$  erfährt.

$n_r$ : Anzahl der Pole rechts der imaginären Achse

$n_a$ : Anzahl der Pole auf der imaginären Achse

Phasenrad/Phasenreserve:

Für befriedigendes Verhalten bei Störungen gilt:  $\varphi_R \geq 30^\circ$

Für gutes Verhalten (überschwingungsarm) gilt:  $\varphi_R \approx 60^\circ$

Für gutes Verhalten (überschwingungsfrei) gilt:  $\varphi_R \geq 80^\circ$

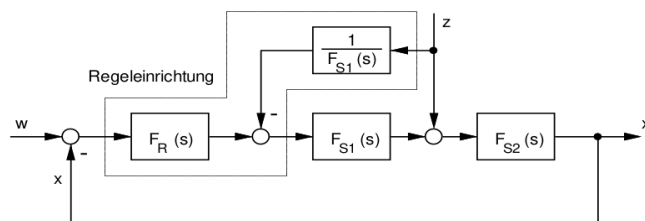
### 3.5 Einstellregler Ziegler/Nichols

### 3.6 Maßnahmen zur Verbesserung des Regelkreisverhaltens und Erweiterungen der Regelkreisstruktur

Störgrößenaufschaltung:

Falls Angriffsort einer Störgröße bekannt, kann man wie im Bild kompensieren.

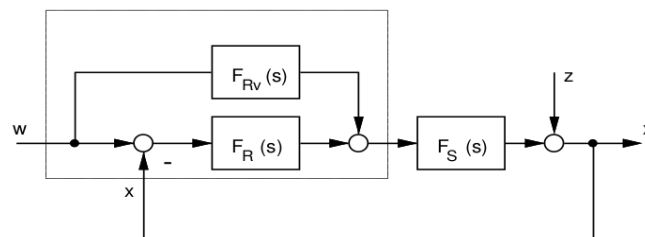
Vorteil: einfacher Reglerentwurf, deutlich schnellere Ausregelung.



Vorsteuerung:

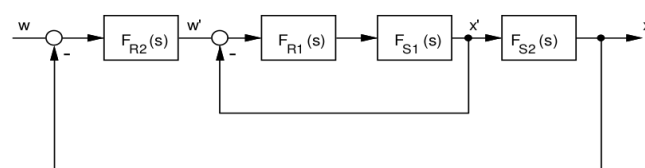
Geeignet, falls kein Kompromiss für gutes Stör- und Folgeverhalten.

Regler ist auf gutes Störverhalten ausgelegt. Mit  $F_{Rv}$  wird ein schnelles Folgen auf Führungssignale  $w(t)$  erreicht.



Kaskadenregelung:

Ineinander geschachtelte Regelkreise (innere Regelkreise „schneller“). „Innere“ Störungen können bereits innen ausgeregelt werden. Können von Innen nach Außen in Betrieb genommen werden.

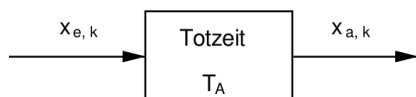


## 4 Digitale Regler

### 4.1 Allgemeines

### 4.2 z-Transformation

Wert der bei  $t = k \cdot T_A$  ausgegeben wird, wird bei  $t = (k-1) \cdot T_A$  eingelesen. (Verzögerung um einen Abtastschritt):



	Kontinuierlich	Zeitdiskret
Zeitbereich	$x_a(t) = x_e(t - T_A)$	$x_{a,k} = x_{e,k-l}$
Bildbereich	$X_a(s) = e^{-s \cdot T_A} \cdot X_e(s)$ (Laplace-Transformation)	$X_a(z) = z^{-l} \cdot X_e(z)$ (z-Transformation)

Bei der z-Transformation entspricht  $e^{-s \cdot T_A}$  der Laplace-Transformation dem Ausdruck  $z^{-1}$ . Bzw  $z \triangleq e^{s \cdot T_A}$

```
while(1){
    waitinterrupt();
    xout2 = xout1;
    xout1 = xout;
    xin2 = xin1;
    xin1 = xin;
    input(xin);
    xout = k*xout2 - j*xin1 + o*xout1;
    output(xa);
}
```

## 5 Systembeschreibung im Zustandsraum

### 5.1 Allgemein (Mehrgrößensystem MIMO)

$$\dot{\vec{x}}(t) = A\vec{x}(t) + B\vec{u}(t); \quad x(0) = x_0; \quad \vec{y}(t) = C\vec{x}(t) + D\vec{u}(t) \quad (4)$$

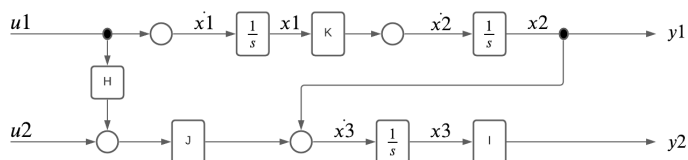


Abbildung 1: Signalflussplan

$$\begin{aligned} \dot{x}_1 &= 0 \cdot x_1 + 0 \cdot x_2 + 0 \cdot x_3 + 1 \cdot u_1 + 0 \cdot u_2 \\ \dot{x}_2 &= K \cdot x_1 + 0 \cdot x_2 + 0 \cdot x_3 + 0 \cdot u_1 + 0 \cdot u_2 \\ \dot{x}_3 &= 0 \cdot x_1 + 0 \cdot x_2 + 0 \cdot x_3 + H \cdot J \cdot u_1 + J \cdot u_2 \\ \dot{y}_1 &= 0 \cdot x_1 + 1 \cdot x_2 + 0 \cdot x_3 + 0 \cdot u_1 + 0 \cdot u_2 \\ \dot{y}_2 &= 0 \cdot x_1 + 0 \cdot x_2 + l \cdot x_3 + 0 \cdot u_1 + 0 \cdot u_2 \end{aligned}$$

$$A = \begin{bmatrix} 0 & 0 & 0 \\ K & 0 & 0 \\ 0 & 0 & 0 \end{bmatrix} \quad C = \begin{bmatrix} 0 & 1 & 0 \\ 0 & 0 & l \end{bmatrix}$$

$$B = \begin{bmatrix} 1 & 0 \\ 0 & 0 \\ H \cdot J & J \end{bmatrix} \quad D = \begin{bmatrix} 0 & 0 \\ 0 & 0 \end{bmatrix}$$

### 5.2 Programmtechnische Umsetzung

Zähler und Nenner der z-Übertragungsfunktion durch die höchste Potenz teilen